

이동로봇의 전역 경로계획을 위한 Self-organizing Feature Map

차영업[#], 정세미^{*}

Self-organizing Feature Map for Global Path Planning of Mobile Robot

Young-Youp Cha[#], Se-Mi Jeong^{*}

ABSTRACT

A global path planning method using self-organizing feature map which is a method among a number of neural network is presented. The self-organizing feature map uses a randomized small valued initial weight vectors, selects the neuron whose weight vector best matches input as the winning neuron, and trains the weight vectors such that neurons within the activity bubble are moved toward the input vector. On the other hand, the modified method in this research uses a predetermined initial weight vectors of 1-dimensional string and 2-dimensional mesh, gives the systematic input vector whose position best matches obstacles, and trains the weight vectors such that neurons within the activity bubble are moved toward the input vector. According to simulation results one can conclude that the modified neural network is useful tool for the global path planning problem of a mobile robot.

Key Words : Mobile robot(이동로봇), Global path planning(전역경로계획), Self-organizing feature map(SOFM)

1. 서론

경로계획은 이동로봇이 목표점에 도착하기 위하여 그 사이의 경로를 여러 개의 기본 운동형태로 나누는 것이다. 이와 같은 경로계획은 크게 전역 경로계획과 지역 경로계획으로 나눌 수 있다. 전역 경로계획은 이미 주어진 장애물 지도를 기본으로 출발점에서 목표점까지 장애물과 충돌을 피하면서

가장 빠르게 갈 수 있는 경로를 찾는 것이다. 이에 반하여, 지역 경로계획은 지도가 없는 미지의 환경을 이동하거나, 이미 작성된 지도를 이용한 전역 경로계획에 따라서 이동로봇이 이동할 때 지도에 나와 있지 않은 장애물이나 이동 장애물을 피하기 위하여 실시간 센서 정보를 이용하여 국부적으로 경로를 재 생성하는 것이다.¹⁻⁵ 전역 경로 계획은 형상공간 방법(configuration space method), 포텐셜 방

접수일: 2005년 4월 25일; 게재승인일: 2006년 1월 13일

교신 저자: 원광대학교 공과대학 기계자동차공학부
ggypcha@wonkwang.ac.kr Tel. (063)850-6693

* 원광대학교 대학원 기계공학과

법(potential approach), 그리고 퍼지, 신경회로망, 유전자 알고리즘에 기초한 인공지능 알고리즘이 이동로봇의 경로계획에 적용되었다.

형상 공간 방법의 경우, Lozano-Perez¹는 V-그래프(visibility graph)에 의한 다각형들로 이루어진 환경에서 이동로봇을 한점으로 간주한 경로문제를 처음으로 다루었다. 그러나 이러한 V-그래프는 이동로봇의 주위환경뿐만 아니라 그 크기에도 영향을 받는다. 이러한 단점을 해결하기 위하여 Noborio²는 환경을 quadtree로 모델링 하는 효과적인 방법을 제안하였다. 그러나 이러한 quadtree는 주위환경의 근사적인 표현일 뿐만 아니라 설정된 좌표계에 의존한다. 또한, 이러한 형상공간 방법은 계산시간을 많이 요구한다.

포텐셜 방법의 경우, Brooks³과 Adams⁴는 반력(repulsive force)을 장애물과 상사(identify)시키고, 여기에 목표점 쪽으로 인력(attractive force)을 첨가하여 경로생성을 하였다. 따라서 이동로봇은 그들의 합력벡터(resulting vector) 방향으로 운동을 한다. Borenstein⁵은 반력과 인력의 합력벡터 뿐만 아니라, 환경을 사각형으로 분할하고 각 사각형을 장애물로 판단될 확률로 결합하였다. 이 확률에 기초하여, artificial 힘을 계산하였다. 그러나 이 artificial 힘의 방향과 크기는 실시간으로 구현하였지만, 실제로 인간이 장애물을 피해서 목표점에 도달하는 경험적 방식과는 큰 차이가 있다.

인공지능 알고리즘을 로봇의 전역 경로계획에 사용하려고 하는 노력이 최근에 있었다. 퍼지, 신경회로망, 유전자 알고리즘 또는 그들을 함께 사용하는 것이 그것인데, Qunjie⁶는 퍼지 알고리즘을 사용하여 지역 경로계획 문제⁷를 다루었고, Zhu⁸는 신경회로망과 함께 cost 함수로 충돌 에너지함수를 이용하였고, Bourbakis⁹는 skeletonization과 신경회로망을 이용하였으며, Chaiyaratana¹⁰는 유전자 알고리즘을 이용하여 경로계획 문제를 해결하였다. 그러나 이러한 노력에도 불구하고 아직도 지역 또는 전역 경로계획문제는 계산시간, 이동물체 회피, 간단성 등의 문제점이 있다.

이동로봇¹¹의 자율주행을 위하여 신경회로망 중에서 self-organizing feature map(SOFM)¹²을 이용한 전역 경로계획 알고리즘을 본 연구에서 제안한다. SOFM은 초기에 가중치벡터를 작은 랜덤값으로 초기화하고, 학습계수와 이웃관계 함수를 초기화한 후, 한 개의 입력이 가해진다. 가해진 입력에 가장

가까운 가중치벡터를 갖는 승자뉴런을 찾아서, 승자뉴런 근방의 뉴런을 입력벡터 방향으로 움직이게 함으로써 가중치벡터를 재 계산한다. 이와 같은 과정을 반복하여, 뉴런의 위치를 재배치함으로써, 주어진 입력에 따른 특징을 구현할 수 있다.

본 연구에서는 이러한 SOFM을 전역 경로계획에 적용하기 위하여 수정한다. 즉, 초기의 가중치벡터를 이미 결정된 값으로 초기화하고, 입력을 장애물 외부에 가하여, 가해지는 입력에 가장 가까운 가중치벡터를 갖는 승자뉴런을 찾아서, 승자뉴런 근방의 뉴런을 입력벡터 방향으로 움직이게 함으로써 가중치벡터를 재 계산한다. 이와 같은 과정을 반복하여 뉴런의 위치를 재배치함으로써 주어진 입력에 따른 이동로봇의 경로를 생성할 수 있다. 제안된 전역 경로계획 알고리즘의 효율성을 입증하기 위하여 장애물이 있는 환경에서 1차원 스트링(string)과 2차원 메쉬(mesh) 가중치를 가진 신경회로망의 모의실험을 통하여 결과가 보여진다.

2. SOFM

SOFM 네트워크에서는 기대되는 출력이 없다. 대신에 신경회로망은 자기 조직화 특성에 의해 임의의 추상적인 관계를 추론할 수 있으며, 더 많은 입력이 인가 될수록 네트워크는 그 학습을 개선하고 변화된 입력들에 적응하여 출력을 내보낸다. 이러한 구조의 한 이점으로는 변화하는 상태와 입력에 대해 대처할 수 있다는 것이다. 그러므로 이 네트워크는 입력을 다른 카테고리로 분류할 때와 음성 인식, 로봇 모터 제어 등에 사용된다.

SOFM의 목적은 N-차원의 입력 공간을 의미 있는 지형학적인 순서로 1차원 또는 2차원의 출력 공간(출력 뉴런)에 맵핑할 수 있게 하는 것이다. 이러한 목적을 성취하기 위해 경쟁학습(competitive learning)에 의한 승자독점(winner-take-all)원리와 측면 제어(lateral inhibition)가 이용된다.¹²

입력 벡터 X 와 j 번째 출력층 뉴런과 상응하는 가중치 벡터 W_j 를

$$X = [x_1, x_2, \dots, x_p]^T \quad (1)$$

$$W_j = [\omega_{j1}, \omega_{j2}, \dots, \omega_{jp}]^T, j=1, 2, \dots, N \quad (2)$$

로 표시한다면, 입력 벡터 X 와 가중치 벡터 W_j 를 이용한 학습 법칙은 다음과 같다.

$$W_j^{new} = W_j^{old} + \eta(X_i - W_j^{old}) \quad (3)$$

여기서 η 는 학습율을 나타내고, i 는 1에서 p 까지로 입력 뉴런의 수를 나타내며, j 는 1에서 N 까지로 출력 뉴런의 수이다. 그리고 w_{ji} 는 i 번째 입력 뉴런과 j 번째 출력 뉴런을 연결하는 가중치를 나타낸다.

입력 벡터의 분류를 위한 출력 층의 승자 뉴런의 결정은 입력값 X 와 가장 비슷한 가중치 W_j 를 갖는 출력 뉴런을 선택하는 것과 같다. 이러한 출력 뉴런을 선택하는 방법은 두 가지가 있다. 첫째는

$$I_{j \max} = \sum_{i=1}^p \omega_{ji} x_i \quad (4)$$

과 같은 I_j 를 선택하는 것이고, 두 번째는 입력 벡터와 최소의 Euclidean norm을 갖는 가중치를 선택하는 것이다. 즉, $i(X)$ 가 승자 뉴런이라 한다면 이 식은 다음과 같다.

$$i(X) = k, \text{ where } \|W_k - X\| < \|W_j - X\| \quad (5)$$

위와 같이 출력 뉴런을 선택하여 승자가 된 뉴런 만이 “1”이 되고 나머지는 “0”이 되는데 이러한 방법이 경쟁학습에 의한 승자독점 원리이다. 보통 가중치 벡터와 입력 벡터는 정규화 시키는데, 그 이유는 학습규칙이 입력 벡터로부터 가중치 벡터를 뺀 값을 사용하기 때문이다.

그리고, 좀더 효율적인 패턴 분류를 위하여 측면 제어를 이용한다. 측면 제어의 대표적인 방법은 이웃관계 함수, $\Lambda_{i(X)}(n)$ 의 사용으로, 승자 뉴런이 선택되면 승자 뉴런의 이웃하는 거리에 따라 연결 강도를 달리하는 방법으로 연결 강도는 거리에 반비례한다. 이웃관계 함수를 이용한 학습 법칙은 다음과 같다.

$$W_j(n+1) = \begin{cases} W_j(n) + \eta(n) [X - W_j(n)], & j \in \Lambda_{i(X)}(n) \\ W_j(n), & otherwise \end{cases} \quad (6)$$

여기서 $\eta(n)$ 은 n 시간에서의 학습율이다.

3. 전역 경로계획

3.1 수정된 SOFM

SOFM을 전역 경로계획에 적용하기 위하여 수정한다. 즉, 초기의 가중치 벡터를 이미 결정된 값으로 초기화하고, 입력을 장애물 외부에 규칙적으로 가하여, 가해지는 입력에 가장 가까운 가중치 벡터를 갖는 승자뉴런을 찾아서, 승자뉴런 근방의 뉴런을 입력벡터 방향으로 움직이게 함으로써 가중치벡터를 재 계산한다. 이와 같은 과정을 반복하여 뉴런의 위치를 재배치 함으로서 주어진 입력에 따른 이동로봇의 경로를 생성할 수 있다.

수정된 Kohonen의 SOFM은 다음과 같은 단계로 표현된다.

Step 1. 초기화

초기 가중치 벡터, $W_j(0)$ 을, 기존의 SOFM에서는 아주 작은 랜덤값으로 초기화 시키는데 반하여, 이동로봇의 작업영역에 격자모양으로 배치시킨다. 그리고 학습계수, $\eta(0)$ 와 이웃관계 함수 $\Lambda_{i(X)}(0)$ 를 초기화한다. 두 값 모두 초기에는 큰 값을 부여 한다.

Step 2. 각 장애물들에서 입력 벡터, X 의 경우에 다음의 Step 2a, 2b, 2c를 수행한다.

Step 2a. network의 입력층에 입력벡터, X 를 위치 시킨다.

Step 2b. Similarity matching

입력벡터, X 에 가장 근접한 가중치 벡터를 갖는 뉴런을 선택하여 승자뉴런으로 한다. 이는 식 (5)를 사용하여 구할 수 있다.

Step 2c. Training

식 (6)과 같이 activity bubble 내의 뉴런들을 입력벡터 방향으로 가중치 벡터를 훈련시킨다.

Step 3. 학습율, $\eta(n)$ 의 갱신

학습율의 선형감소은 만족할만한 결과를 얻도록 해야 한다.

Step 4. 이웃관계 함수, $\Lambda_{i(X)}(n)$ 의 감소

Step 5. 경지 조건의 확인

feature map에 식별할 수 있는 변화가 일어나지 않는 경우에 반복계산을 정지하고, 그렇지 않으면 Step 2로 간다.

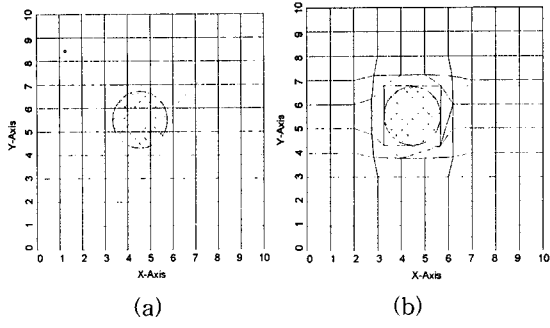


Fig. 1 Example of global path planning by using SOFM (a) before and (b) after training

3.2 전역 경로계획

전역 경로계획은 이미 주어진 장애물 지도를 기본으로 출발점에서 목표점까지 장애물과의 충돌을 피하면서 가장 빠르게 갈 수 있는 경로를 찾는 것이다. 즉 이동로봇의 작업 영역에서의 장애물에 대한 정보를 미리 가지고 있으므로 이를 이용하여 이동로봇의 최단경로를 찾는 것이다.

이와 같은 전역 경로계획에 3.1절에서 거론한 수정된 SOFM을 사용한다. 이를 위하여 초기에 Fig. 1(a)와 같이 이동로봇의 작업영역에 위치가 결정된 초기 메쉬를 설정한다. 여기서 이동로봇의 작업영역은 사각형이라고 가정하고, 원은 장애물을 나타내고 있다. 작업영역의 수평축을 X축, 그리고 수직축을 Y축이라 하면, 메쉬상의 한 점은 (X, Y)로 나타낼 수 있다.

만약 원으로 나타낸 장애물이 없다고 가정하면, 작업영역 위의 한 점 (0, 5)에서 다른 한 점 (10, 5)로 갈 수 있는 최단 경로는 메쉬 위의 (0, 5), (1, 5), (2, 5), (3, 5), (4, 5), (5, 5), (6, 5), (7, 5), (8, 5), (9, 5) 그리고 (10, 5)를 지나는 선이 될 것이다. 같은 방법으로, 작업영역 위의 한 점 (0, 0)에서 다른 한 점 (10, 10)으로 갈 수 있는 최단 경로는 메쉬 위의 (0, 0), (1, 1), (2, 2), (3, 3), (4, 4), (5, 5), (6, 6), (7, 7), (8, 8), (9, 9) 그리고 (10, 10)을 지나는 선이 될 것이다.

그리고 앞의 3.1절에서 기술한 수정된 self-organizing feature map을 이용하여 네트워크를 훈련하면, 장애물에서부터 일정한 거리만큼 떨어진 위치에 규칙적으로 입력이 주어지고, activity bubble 내의 뉴런은 가중치 벡터가 입력벡터 방향으로 주어지므로, 그 내부에 있는 메쉬들은 점차 장애물 바깥쪽으로 빠져나오게 된다. 그 결과가 Fig. 1(b)와

같다고 하면, 실제 이동로봇을 위한 전역 경로는 훈련 하기전의 좌표 순서를 따라서, 훈련 후의 좌표순서대로 지정하면 된다. 그리고 훈련 전에 해당 경로위에 장애물이 없었다면, 훈련 후에도 그 경로는 거의 변화가 없음을 알 수 있다. 즉, 작업영역 위의 한 점 (0, 1)에서 다른 한 점 (10, 1)로 갈 수 있는 최단 경로 점의 위치는 훈련 전이나 후에도 거의 변화가 없음을 알 수 있다.

또한 작업영역 위의 한 점 (0, 5)에서 다른 한 점 (10, 5)로 갈 수 있는 경로를 보면, 출발과 도착부근에서는 메쉬의 위치변화가 거의 없지만, 장애물이 있는 중간부의 위치변화는 상당한 것으로 보여 진다. 즉 출발부의 (0, 5), (1, 5), (2, 5)와 도착부의 (7, 5), (8, 5), (9, 5), (10, 5)의 위치는 훈련 전과 후에 거의 변화가 없지만, 장애물이 있는 중간부, 즉 (3, 5), (4, 5), (5, 5), (6, 5)는 메쉬의 위치변화가 명백히 나타난다. 이렇게 함으로써 이미 주어진 장애물 지도를 기본으로 출발점에서 목표점까지 장애물과 충돌을 피하면서 가장 빠르게 갈 수 있는 최단경로를 찾는 것이 가능하다.

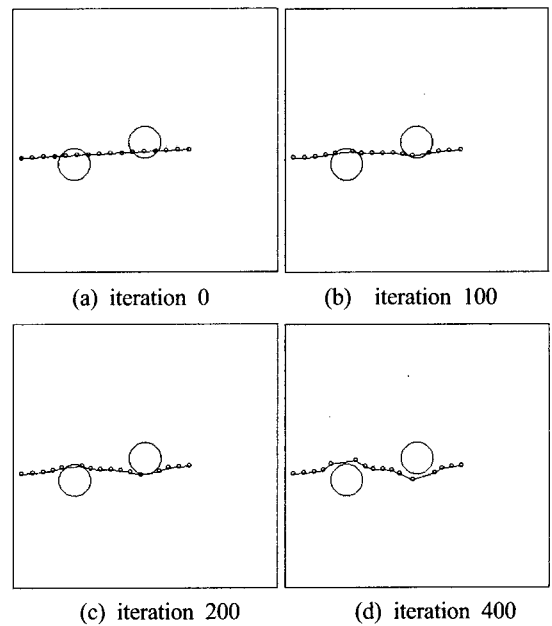


Fig. 2 Sequential results of global path planning by using modified SOFM with 1-dimensional string

4. 모의실험

Fig. 2는 수정된 SOFM을 1차원 스트링 가중치의 전역 경로계획에 적용한 순차적인 결과를 보여주고 있다. 스트링의 뉴런 개수는 16개로 하고, 이동로봇의 작업영역에 있는 장애물은 2개를 배치하였다. 기존의 SOFM과 비교하여, 초기에 가중치 벡터를 작은 랜덤값으로 주는 대신에 작업영역에서 이동로봇의 출발점과 도착점을 스트링 양끝으로 설정하여 일정한 간격으로 배치한 것이 Fig. 2(a)에 나와 있다. 이때 스트링의 맨 끝에 있는 뉴런 2개는 입력벡터의 영향을 무시하도록 하여, 작업영역의 경계를 나타내는 사각형 바깥으로 스트링이 나가는 것과 안쪽으로 이동하는 것을 제한하여 고정한다. 점차적으로 입력벡터를 가하는 횟수를 증가시키면, 장애물인 원 내부에 있는 스트링이 원 바깥으로 밀려나가는 결과가 얻어지는데 200회와 400회 반복의 결과가 각각 Fig. 2(c)와 2(d)에서 보여 진다.

Fig. 3은 수정된 SOFM을 2차원 메쉬 가중치의 전역 경로계획에 적용한 순차적인 결과를 보여주고 있다. 메쉬의 가로와 세로의 뉴런 개수는 각각 20개로 하고, 이동로봇의 작업영역에 있는 장애물은 4개를 배치하였다. 기존의 SOFM과 비교하여, 초기에 가중치 벡터를 작은 랜덤값으로 주는 대신에 전체 작업영역에 메쉬를 일정한 간격으로 배치한 것이 Fig. 3(a)에 나와 있다. 여기서 장애물 안쪽의 작은 점은 메쉬의 교차점인 노드 중에서 장애물 안쪽에 있는 것들을 나타내고 있다. 이때 작업영역의 맨 가장자리에 있는 뉴런은 입력벡터의 영향을 무시하도록 하여, 작업영역의 경계를 나타내는 사각형 바깥으로 노드가 나가는 것과 안쪽으로 이동하는 것을 제한한다.

점차적으로 입력벡터를 가하는 횟수를 증가시키면, 장애물인 원 내부에 있는 노드가 원 바깥으로 밀려나가는 결과가 얻어지는데 200회와 400회 반복의 결과가 각각 Fig. 3(c)와 3(d)에서 보여 진다. 결과적으로 이와 같은 방법은 메쉬가 전체의 작업영역에 골고루 펼쳐지고, 장애물의 크기에 관계없이 입력을 주는 방법이 일정하며, 메쉬의 교차점이 완전히 장애물 바깥으로 나오는 것을 보장해 줄 수 있다.

Fig. 4는 장애물이 1개와 6개인 경우에 수정된 SOFM을 적용한 후의 전역경로계획 결과를 보여주

고 있다. Fig. 3의 4개 장애물들에서 1개만 남겨 놓은 것, 또는 2개를 추가하여 6개의 장애물에 대한 결과이며, 결과적으로 메쉬가 장애물들을 잘 피해서 생성된 것을 보여준다.

Fig. 5는 Fig. 3과 Fig. 4의 장애물이 1개, 4개, 그리고 6개인 경우에 수정된 SOFM의 적용에 따른 반복 회수와 전체 노드의 이동거리 총합을 보여주고 있다. 장애물이 많을수록 이동거리의 총합은 커지고, 장애물이 1개, 4개, 그리고 6개인 경우 모두 25 반복 까지는 이동거리의 총합이 일정하게 증가하다가, 그 이후에는 감소하는 것을 알 수 있다. 300 반복 이후에는 이동거리의 총합이 세 경우 모두 0으로 되는 것을 볼 수 있다.

Fig. 6은 Fig. 5와 같이 장애물이 1개, 4개, 그리고 6개인 경우에 수정된 SOFM의 적용에 따른 반복 회수와 장애물 내에 있는 노드의 총 개수를 보여주고 있다. 초기에는 장애물의 개수가 많을수록 장애물 내에 있는 노드의 총 개수는 큰 값을 갖고, 150 반복 이후에는 세 경우 모두 0으로 되는 것을 알 수 있다. 중간에 장애물이 6개인 경우가 4개인 경우보다 더 빨리 수렴하는 것을 알 수 있는데, 이는 주변 장애물에서의 입력이 근처에 있는 다른 장애물의 노드에 순방향 영향을 끼친 결과로서, 장애물의 상대위치에 따른 제한적인 결과로 보여 진다.

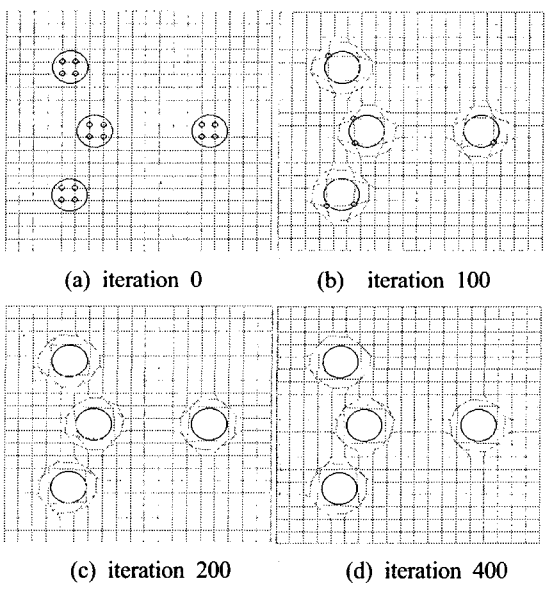


Fig. 3 Sequential results of global path planning by using modified SOFM with 2-dimensional mesh

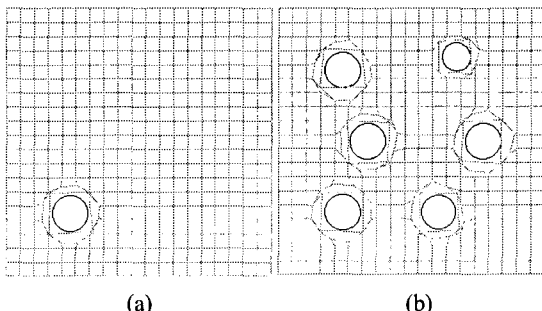


Fig. 4 Results of global path planning by using modified SOFM in environment with (a) 1 obstacle and (b) 6 obstacles

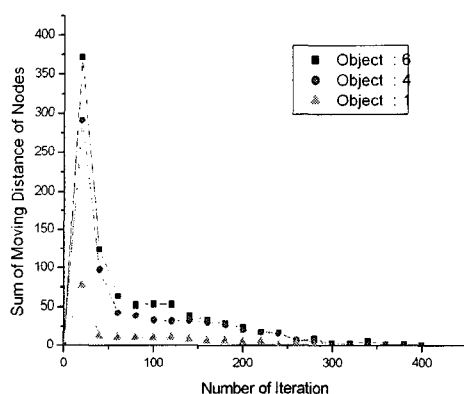


Fig. 5 Sum of moving distance according to the number of iteration in environment with 1, 4, and 6 obstacles by using modified SOFM.

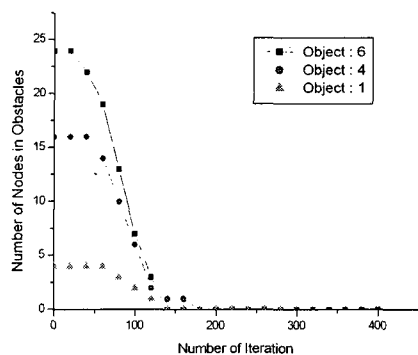


Fig. 6 The number of remained nodes in obstacles according to the number of iteration in environment with 1, 4, and 6 obstacles by using modified SOFM

Fig. 7은 Fig. 3과 같이 장애물이 4개인 경우에 수정된 SOFM을 적용한 후, 최종적으로 각 노드의 위치를 보여주고 있다. 이 그림에서 장애물에서 멀리 있는 노드들은 초기위치 그대로이고, 장애물에 가까워질수록 그 위치가 많이 변화된다.

Fig. 8은 Fig. 7의 경우에 원점에서 각 노드들까지의 총 이동거리를 3차원으로 보여주고 있다. 이 그림에서 음영의 변화는 전체 이동거리를 등고선 형태로 보여주는 것이다. 장애물에 영향을 받지 않는 좌, 우측의 경우는 SOFM을 적용하기 전과 같이 아무런 변화가 없다. 그러나 장애물 바로 앞의 노드까지 거리는 매쉬의 변형에 따라서 최초의 상태보다 총 이동거리가 감소하고, 장애물 뒤에서는 증가하는 것을 알 수 있다.

Fig. 9는 Fig. 7의 경우에 수정된 SOFM을 적용한 후와 적용 전의 원점에서 각 노드들까지의 총 이동거리 차를 3차원으로 보여주고 있다. 앞의 Fig. 8에서 거론한 것처럼 장애물 앞의 노드까지 총 이동거리 차는 음수를 갖고, 장애물 뒤는 양수를 갖는 것을 알 수 있다. 또한 장애물 좌, 우의 노드에서는 그 차가 0이 되는 것을 알 수 있다. 결과적으로 본 연구에서 제안한 수정된 SOFM은 이동로봇의 전역 경로계획에 효과적으로 사용될 수 있다.

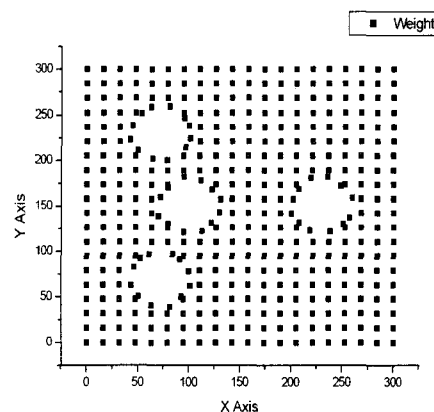


Fig. 7 Final node position of mesh by using modified SOFM in environment with 4 obstacle

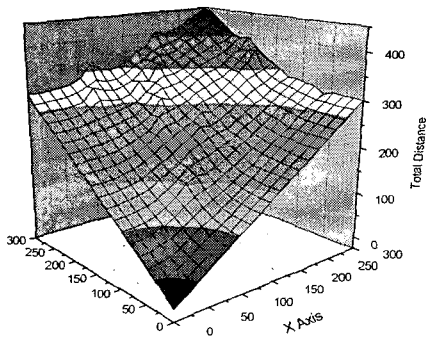


Fig. 8 Total distance from origin point to each node by using modified SOFM in environment with 4 obstacles

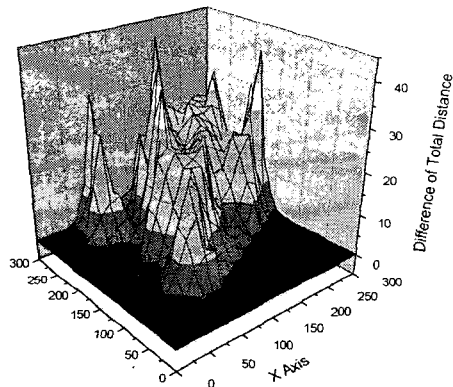


Fig. 9 Difference of total distance from origin point between applied to modified SOFM and before

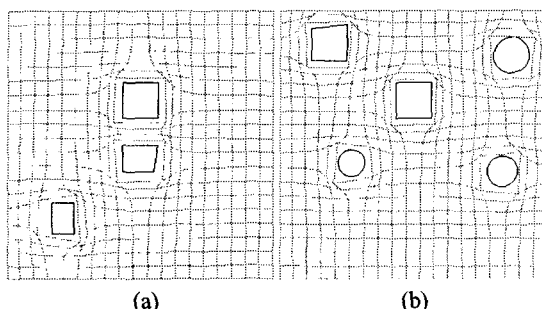


Fig. 10 Results of global path planning by using modified SOFM in environment with (a) rectangle obstacles and (b) circular and rectangle obstacles

Fig. 10은 장애물이 사각형인 경우(a)와 사각형과 원형이 함께 있는 경우에 수정된 SOFM을 적용한 후의 전역경로계획 결과를 보여주고 있다. 결과적으로 메쉬가 장애물들을 잘 피해서 생성된 것을 보여준다.

5. 결론

본 연구에서는 이동로봇의 전역 경로계획에 적용하기 위하여 Kohonen의 SOFM을 수정하고, 1차원 스트링과 2차원 메쉬 가중치를 이용하였다. 즉, 초기의 가중 벡터를 이미 결정된 값으로 초기화하고, 입력을 장애물 외부에 가하여, 가해지는 입력에 가장 가까운 가중벡터를 갖는 승자뉴런을 찾아서, 승자뉴런 근방의 뉴런을 입력벡터 방향으로 움직이게 함으로써 가중치벡터를 재 계산하였다. 이와 같은 과정을 반복하여 뉴런의 위치를 재 배치 함으로써 주어진 입력에 따른 이동로봇의 경로를 생성할 수 있었다. 제안된 전역 경로계획 알고리즘의 효율성을 입증하기 위하여 장애물이 있는 환경에서 1차원 스트링과 2차원 메쉬 가중치의 모의실험을 통하여 우수한 성능을 보여주었다.

후기

이 논문은 2004년도 원광대학교의 교비 지원에 의해서 수행됨

참고문헌

1. Lozano, Perez, T. and Wesley, M. A., "An algorithm for planning collision-free paths among polyhedral obstacles," Commun. ACM, pp. 560-570, 1979.
2. Noborio, H., Naniwa, T. and Arimoto, S., "A fast path planning algorithm by synchronizing modification and search of its path-graph," Proc. IEEE Intern. Workshop on Artificial intelligent for Industrial Application, pp. 351-357, 1988.
3. Brooks, R., "Solving the find path problems by good representation of free space," IEEE Trans. Syst. Man Cybern., Vol. SMC-13, No. 3, pp. 190-197, 1983.

4. Adams, M. D. and Probert, P. J., "Towards a real-time navigation strategy for a mobile robot," Proc. of the IEEE Intern Workshop on Intelligent Robots and Systems, pp. 743-748, 1990.
5. Borenstein, J. and Koren, Y., "The vector field histogram-fast obstacle avoidance for mobile robots," IEEE Trans. on Robotics and Automation, No. 3, pp. 278-298, 1991.
6. Qunjie, D. and Mingjun, Z., "Local Path Planning Method for AUV Based on Fuzzy-neural Network," SHIP ENGINEERING, Vol. 1, pp. 54-58, 2001.
7. Cha, Y. Y., "Navigation of a free ranging mobile robot using heuristic local path planning algorithm," Robotics and Computer Integrated Manufacturing, Vol. 13, No. 2, pp. 145-156, 1997.
8. Zhu, Y., Chang, J. and Wang, S., "A new path-planning algorithm for mobile robot based on neural network," TENCOM '02. Proceedings. 2002 IEEE Region 10 Conference on Computers, Communications, Control and Power Engineering, Vol. 3, pp. 1570-1573, 2002.
9. Bourbakis, N. G., "Path Planning in a 2-D Known Space Using Neural Networks and Skeletonization," Conference proceedings : IEEE International Conference on Systems, Man, and Cybernetics, Vol. 3, pp. 2001-2005, 1997.
10. Chaiyaratana, N. and Zalzala, A. M. S., "Time-Optimal Path Planning and Control using Neural Networks and a Genetic Algorithm," International Journal of Computational Intelligence and Applications, Vol. 2, No. 2, pp. 153-172, 2002.
11. Cha, Y. Y. and Gweon, D. G., "The development of a free ranging mobile robot equipped with a structured light range sensor," Intelligent Automation and Soft Computing, Vol. 4, No. 4, pp. 289-312, 1998.
12. Kohonen, T., "The self-organizing map," Proceedings of the Institute of Electrical and Electronics Engineers, Vol. 78, No. 9, pp. 1464-1480, 1990.